

道路近傍における汚染物質の発生と拡散

日本 NCR(株)

広島大学大学院 学生会員 ○ 新田恭子

杉原朋子

広島大学大学院

正会員

尾崎則篤

埼玉大学大学院

正会員

小松登志子

筑波大学大学院

正会員

福島武彦

1. 背景と目的

ポイントソース対策が進んだ結果、現在ノンポイントソース対策の重要性が増している。本研究では代表的なノンポイント汚染源の1つである自動車排ガスに着目し、自動車交通に伴って排出される粉塵、及びそれに含まれる多環芳香族炭化水素類（PAHs）の道路近傍における動態解析を行う事を目的とした。本報では特に大気中の小径粉塵の解析結果を中心に報告する。

2. 測定方法

地点：東広島市西条町上三永、国道2号線沿いの、アスファルトで舗装された地点をサンプリングポイントとした。交通量は1日約2~3万台と多く、また周辺は民家が点在するのみの地域である。よって採取された有害化学物質は、主に自動車排ガスに起因すると考えられる。全ての測定は、道路端から1mの地点で行った。

方法：浮遊粉塵はハイボリュームエーサンプラーで粒径0.6~7μm（小径粉塵）と粒径7μm以上（大径粉塵）に分けて採取した。また、大気中からサンプリング容器内に降下する粉塵（降下粉塵）を探取した。サンプルはジクロロメタンにより抽出し、GC/MSで16種類のPAHsを測定した。

これらの粉塵及びPAHsに影響を与える因子と考えられる、交通量・気温・風向風速の測定も同時に行つた。

期間：2001年11月19日~25日まで冬期週間変動調査、2002年7月22日~23日、8月14日~21日まで夏期変動調査を行つた。

3. 測定結果

2度のサンプリングで得られたデータを、表1に示す。

表1 サンプリング結果

	粉塵濃度	16PAHs濃度	PAHs含有量
小径 粉塵	0.02~0.13 mg·m ⁻³	0.1~1.2 ng·m ⁻³	10~30 μg·g ⁻¹
大径 粉塵	0.001~0.009 mg·m ⁻³	0.01~0.6 ng·m ⁻³	5~80 μg·g ⁻¹
降下 粉塵	10~450 mg·m ⁻² ·day ⁻¹	100~3000 ng·m ⁻² ·day ⁻¹	5~25 μg·g ⁻¹

4. 起源解析方法

発生源：道路近傍におけるPAHsの主要な発生源として、ディーゼル車排ガス、ガソリン車排ガス、アスファルト粉塵、タイヤ磨耗塵を想定した。なおそのPAHs含有量は、排ガスのみ小径粉塵と大径粉塵に分けて測定した。タイヤ・アスファルトについては小径粉塵、大径粉塵共に同じ含有量とした。小径粉塵発生源の結果を、以降の解析に用いた11種類のPAHsについて、図1に示す。

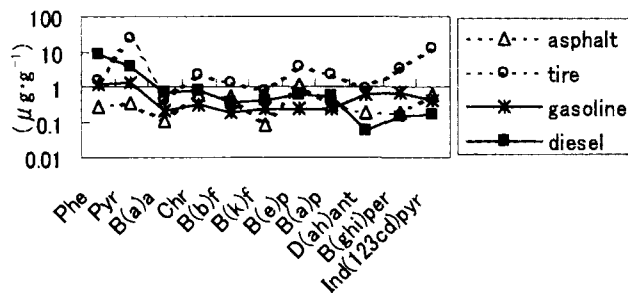


図1 PAHs含有量

解析方法：粉塵中のPAHsが、どの発生源からどの程度の寄与で構成されているのかを知りたい。そのため、解析にはPAHs毎に物質収支式を作り、最も合理的な解を求めるCMB解析マクロ(CMB&J)を用いた¹⁾。すなわ

ち推定式を $C_i \approx \sum_{j=1}^p a_{ij} S_j$ として最適な係数 S_j を定めた。

C_i : 道路粉塵中のPAHs i の濃度

a_{ij} : 発生源 j の試料におけるPAHs i の濃度

S_j : 発生源 j の寄与

p : 発生源の数

S_j がマイナスの値が出た場合は、その発生源を除いて再計算を行つた。気相の割合が高い低分子成分や化学的に不安定と言われているAnthraceneなどを除いた結果、解析対象としたPAHs数は、小径粉塵については11種類である。なお標準偏差は一定とした。解析を行うにあたり、定量限界以下のPAHsには、定量限界の2分の1の値を与えた。

5. 小径粉塵に対する各発生源の寄与

週間交通量を冬期の結果を例に図2に、交通量と解析から求められた小径粉塵PAHs(11種類合計値)の各発生源の寄与を図3~図5に示す。

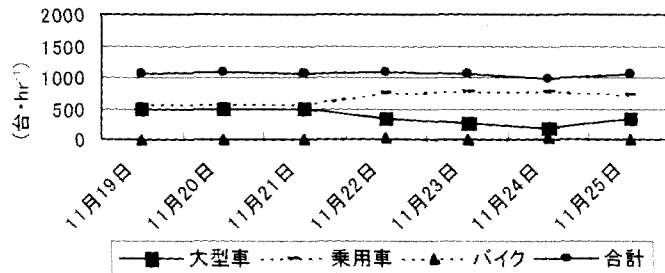


図2 週間交通量（冬期）

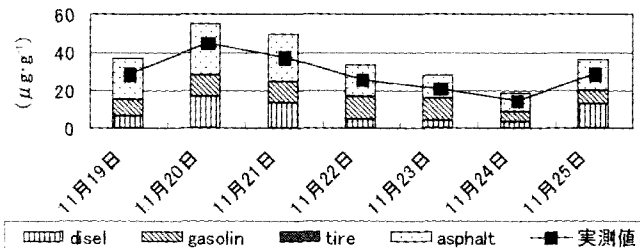


図3 週間小径粉塵発生源別PAHs含有量（冬期）

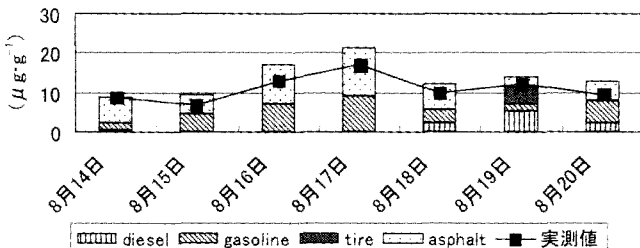


図4 週間小径粉塵発生源別PAHs含有量（夏季）

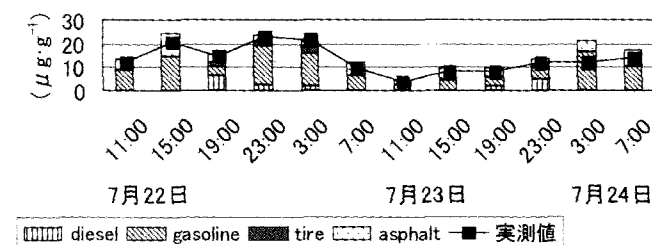


図5 日周小径粉塵発生源別PAHs含有量

- 1) 小径粉塵PAHsには、アスファルトとディーゼル車・ガソリン車排ガスの寄与が大きかった。またタイヤからの寄与も認められた。ディーゼル車排ガスの寄与と大型車交通量が連動している事が確認された。
- 2) ガソリン車排ガスの小径粉塵への寄与は大きいが、

一方、一般に用いられるPM排出量と車種構成比を用いて自動車からのPAHs排出量を計算したところ、ガソリン車の寄与は2%弱に過ぎなかった²⁾。これは今回の結果(冬期平均:28%;夏季平均33%)と異なるため、PM排出係数、もしくは今回測定した排ガスのPAHs含有量、あるいはその両方が排出実態を表していない可能性が考えられた。

- 3) 小径粉塵において、週間変動の排ガスの寄与率が、日周変動に比べ低い。これは日周変動ではサンプリング時間は4時間であるのに対し、週間変動では24時間と長く、そのため、週間変動はサンプリング中の揮発の影響をより多く受けているためと考えられる。すなわち低分子のPAHsは揮発しやすい特性を有するため、夏の高い気温により、サンプリング中に揮発し、もともと低分子の含有量が高く、排ガスのパターンに近かったはずのものが、低分子の少ないアスファルトのパターンに近づいたためと推定された。

6. 結論

冬期・夏期とともに小径粉塵PAHsには、アスファルトと排ガスの寄与が大きかった。アスファルトの寄与が大きいのは、排ガス成分が揮発した事により、アスファルトの寄与を過大に推定したためである可能性が示唆された。またガソリン車排ガスの寄与が、発生原単位法からの推定に比べ非常に大きかったため、PM排出係数、もしくは排ガスのPAHs含有量、あるいはその両方が排出実態を表していない可能性が考えられた。

参考文献

- 1) 早狩進:環境データ解析用表計算マクロの紹介と解析例(II)、大気環境学会誌、36(1)、pp39-45、2001.
<http://www.jomon.ne.jp/~hayakari/>
- 2) 平成9年度環境庁委託調査業務報告書:自動車排出ガス原単位および総量に関する調査、1998.

測定PAHsの種類と略称[括弧内]

Acenaphthylene[Ace]、Acenaphtene[Act]、Flourene[Flu]、Phenanthrene[Phel]、Anthracene[Ant]、Flouranthene[Flt]、Pyrene[Pyr]、Benzo(a)anthracene[B(a)a]、Chrysene[Chr]、Benzo(b)flouranthene[B(b)f]、Benzo(k)flouranthene[B(k)f]、Benzo(e)pyrene[B(e)p]、Benzo(a)pyrene[B(a)p]、Dibenzo(ah)anthracene[D(ah)ant]、Benzo(ghi)perylene[B(ghi)pyr]、Indeno(123cd)pyrene[Ind(123)pyr]